



*Tesi di Laurea*

*Padova, 19 Feb. 2002*

# Un trigger per la ricerca del bosone di Higgs a CDF-II

*Relatore Prof. Giovanni Busetto*

*Correlatore Dott. Tommaso Dorigo*

*Laureando Giorgio Cortiana*

# Contenuti

- Il bosone di Higgs nel Modello Standard
- Limiti alla massa del bosone di Higgs
- L'apparato sperimentale di Fermilab
- Il sistema di trigger di CDF
- Trigger per eventi  $W/Z + H \rightarrow$  adroni
- Verifica del trigger sui primi dati sperimentali
- Conclusioni

## Il bosone di Higgs nel Modello Standard

La rottura spontanea della simmetria di gauge locale  $SU(2)_L \otimes U(1)_Y$  per mezzo di un doppietto di  $SU(2)$  con valore di aspettazione nel vuoto diverso da zero.

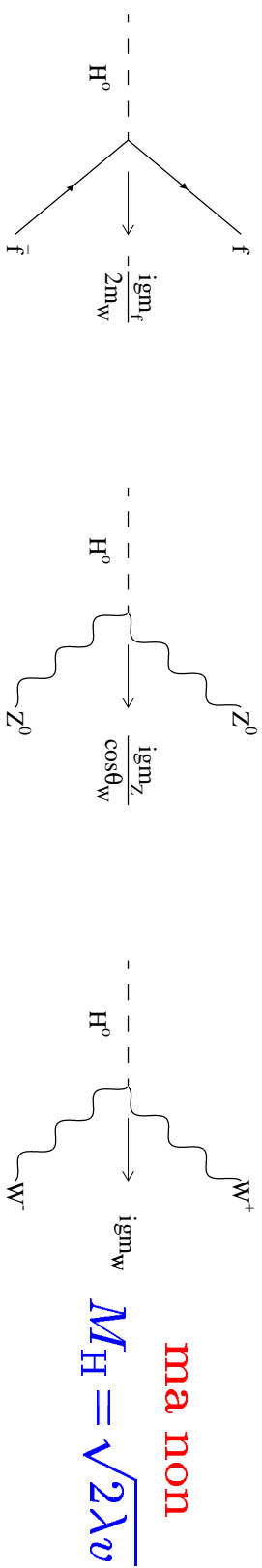
$$\phi_0 = \frac{1}{\sqrt{2}} \begin{pmatrix} 0 \\ v \end{pmatrix}$$

$$\downarrow$$

Simmetria	$\rightarrow$	Masse
		$\left\{ \begin{array}{l} M_Z = \frac{v\sqrt{g^2 + g'^2}}{2} \\ M_W = \frac{vg}{2} \\ M_f = \frac{y^f v}{\sqrt{2}} \\ M_\gamma = 0 \end{array} \right.$

Dopo il meccanismo  
di rottura spontanea  
di simmetria rimane  
lo scalare neutro  $H^0$

Il Modello Standard prevede gli accoppiamenti:

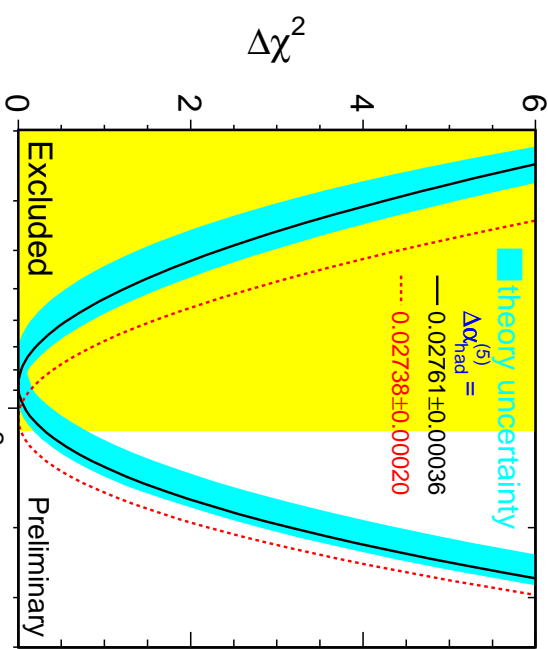


## Limiti per $M_H$

### Fit globali

Limiti di validità della teoria:

$$55 < M_H < 700 \text{ GeV}/c^2 @ \Lambda = 1 \text{ TeV}$$
$$130 < M_H < 190 \text{ GeV}/c^2 @ \Lambda = 10^{19} \text{ GeV}$$



### Risultati combinati di LEP

(hep-ph 0112130)

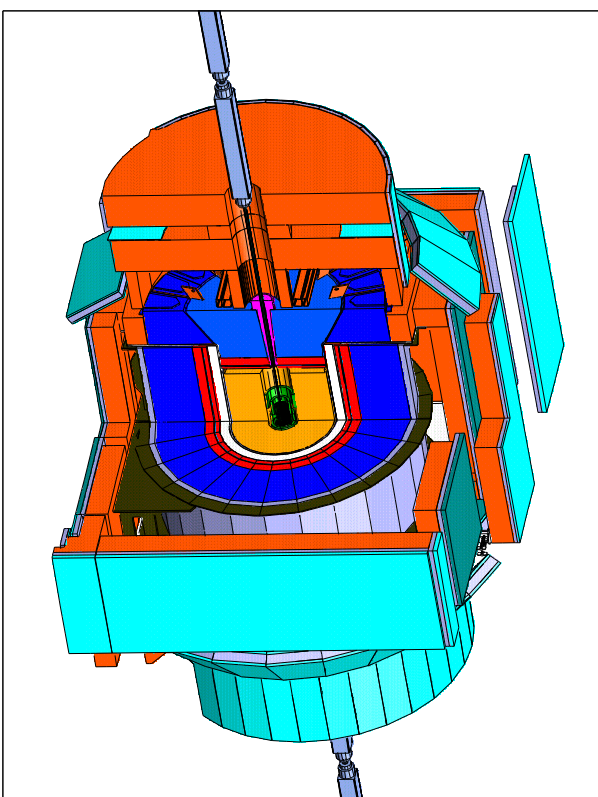
- $M_H = 88_{-35}^{+53} \text{ GeV}/c^2$
- $M_H < 196 \text{ GeV}/c^2 @ 95\% \text{ LC}$   
(hep-ex 0201014)

## L'apparato sperimentale di Fermilab



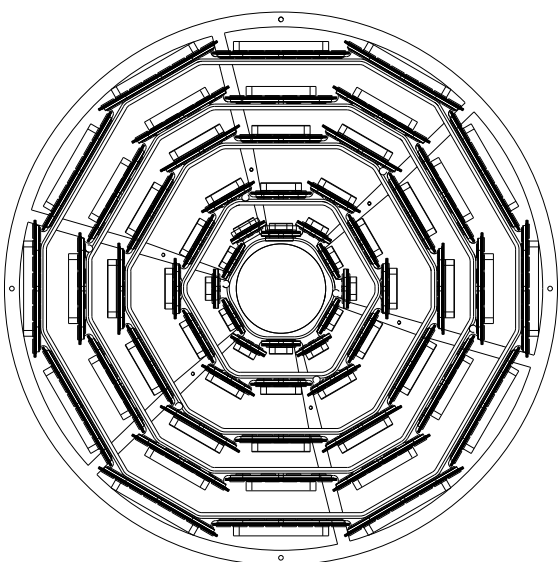
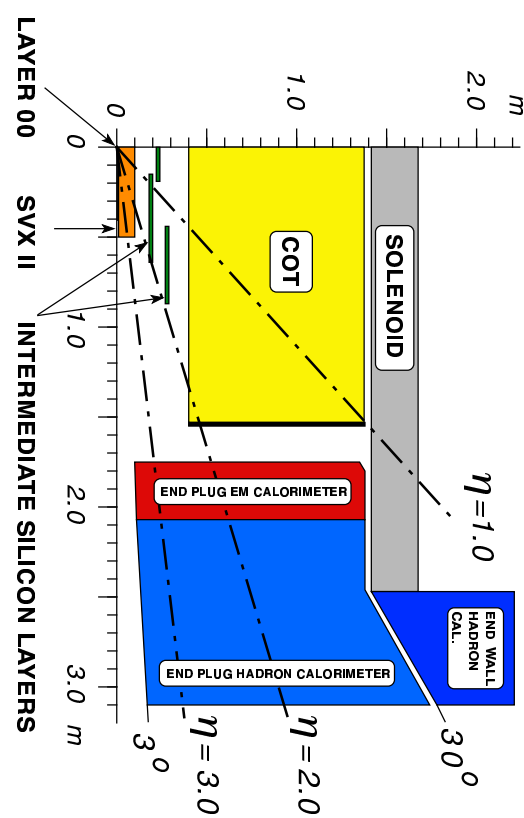
← Apparato di accelerazione

CDF è un rivelatore progettato per lo studio delle interazioni  $p\bar{p}$  in grado di misurare le quantità di interesse delle particelle prodotte nelle collisioni dei fasci



- $\sqrt{s} = 1.8 \text{ TeV}$  **Run I**
- $\mathcal{L}_{ist} \sim 10^{31} \text{ cm}^{-2} \text{s}^{-1}$
- $\int \mathcal{L} dt \sim 110 \text{ pb}^{-1}$  (fino al 1996)
- $\sqrt{s} = 2.0 \text{ TeV}$  **Run II**
- $\mathcal{L}_{ist} \sim 10^{32} \text{ cm}^{-2} \text{s}^{-1}$
- $\int \mathcal{L} dt \sim 15 \div 20 \text{ fb}^{-1}$  (2007 - 2008)

## Apparato di tracciatura



### A livello di trigger:

- COT: camera di tracciatura a deriva
- SVX-II: sistema di tracciatura a 5 layer di silicio

### • Livello 1

XFT: tracciatore veloce sulla COT

### • Livello 2

SVT: tracciatore veloce su SVX-II

## Il sistema di trigger

Sistema a 3 livelli: deve ridurre  $5.6 \text{ Meventi/s} \rightarrow 75 \text{ eventi/s}$

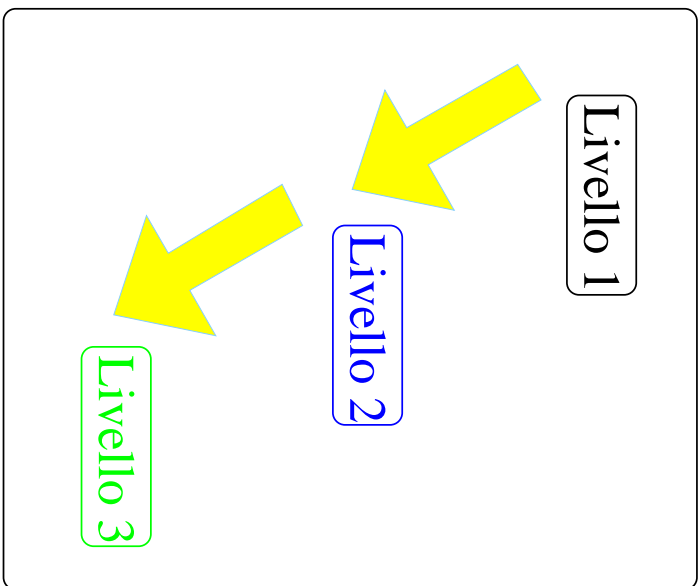
Banda passante:

$$\Rightarrow 40 \text{ kHz}$$

( $\sim 5.5 \mu\text{s}$  tempo di latenza)

$$\Rightarrow 300 \text{ Hz}$$

( $\sim 20 \mu\text{s}$  tempo di latenza)



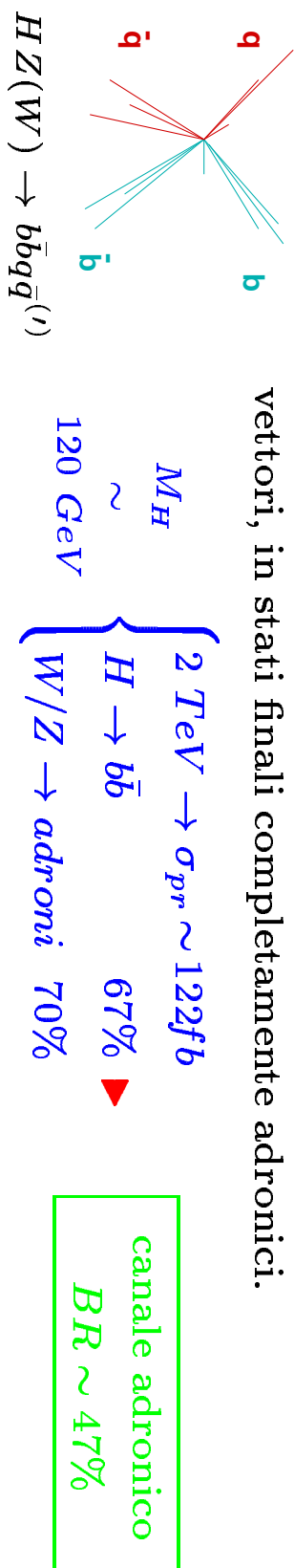
Scrittura su disco

$\Rightarrow$  Analisi offline



## Un trigger multijet per eventi $W/Z H \rightarrow \text{adroni}$

Produzione associata del bosone di Higgs a bosoni vettori, in stati finali completamente adronici.



► trigger multijet apposito per eventi  $W/Z H$

richieste calorimetriche poco stringenti



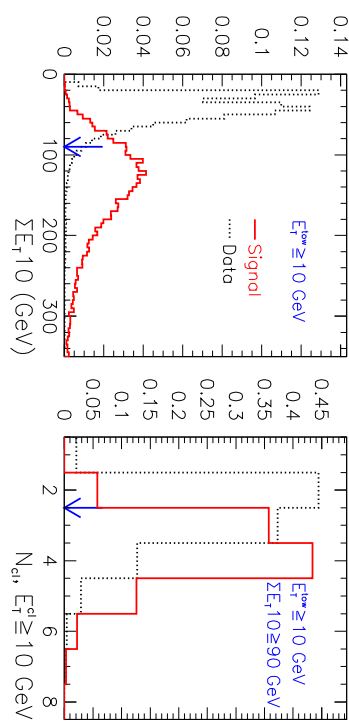
stato finale a 4 jet ma:

riduzione del numero di jet o cluster

- : crack;
- : jet sotto soglia;  $N_{jet}^{oss} \leq 4$
- : fusione di due jet.

## Trigger: calorimetria

$$\mathcal{L} = 10^{32} \text{ cm}^{-2} \text{ s}^{-1}$$

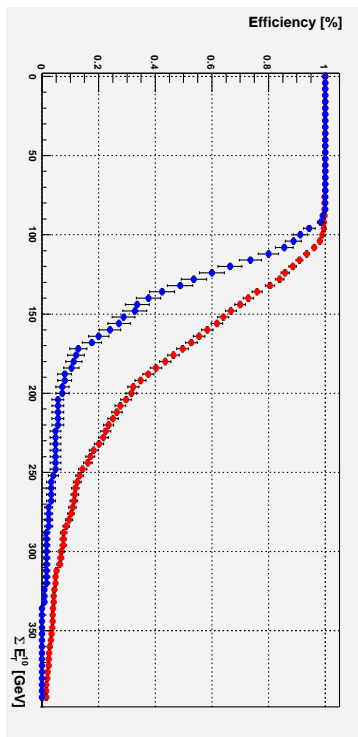


**L1** singola torre di  
trigger con  
 $E_T \geq 10 \text{ GeV};$

**L2**  $N_{\text{cl}}^{10 \text{ GeV}} \geq 3 \text{ e } 15.8 \pm 0.8 \text{ Hz}$   
 $\sum E_T^{\text{cl}} \geq 90 \text{ GeV}; \quad \epsilon = (77.6 \pm 0.5)\%$

**L3**  $N_{\text{jet}}^{10 \text{ GeV}} \geq 3 \text{ e } 11.1 \pm 0.6 \text{ Hz}$   
 $\sum E_T^{\text{jet}} \geq 100 \text{ GeV}. \quad \epsilon \sim 75\%$

$\downarrow$

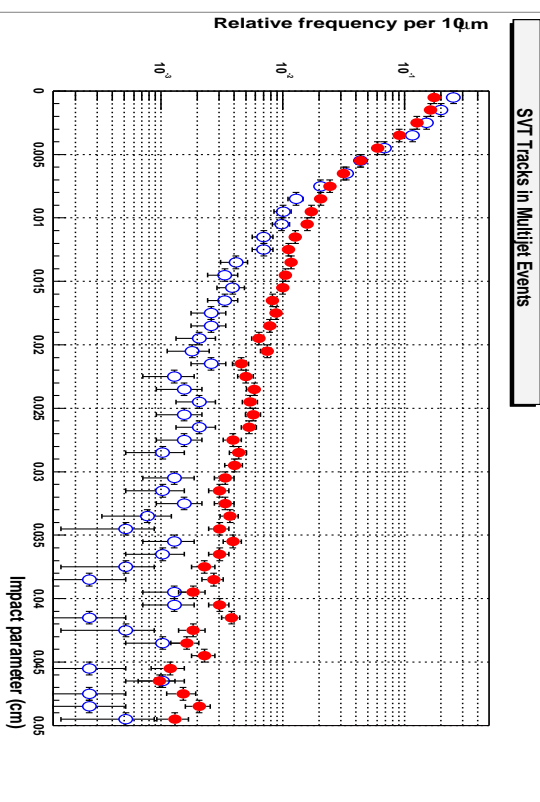


11.1 Hz @ L3 sono troppi  $\rightarrow$  necessità di altre selezioni

banda passante assegnata  $\leq 2 \text{ Hz}$  ( $\leq 20 \text{ nb}$ )

# SVT

## SVT: Silicon Vertex Tracker



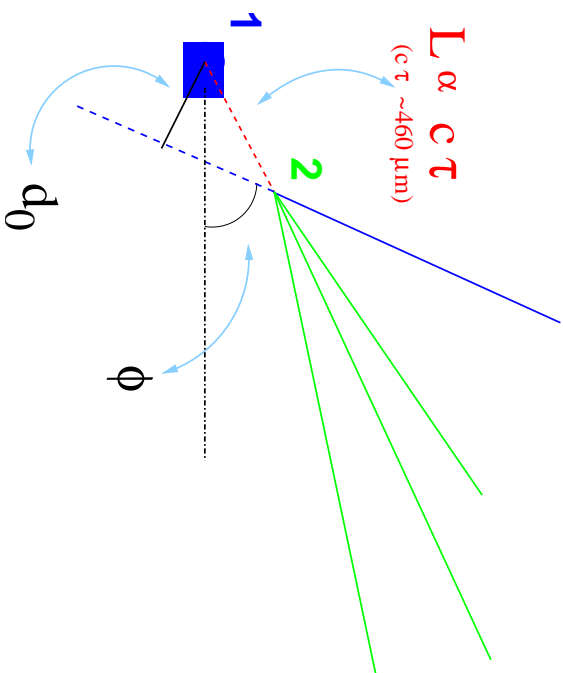
- ▶ legge le informazioni SVX-II e XFT
- ▶ ricostruisce le tracce:  $\rightarrow P_T, \phi, d_0$  in tempo per una decisione a livello 2 di trigger

## Produzione di quark pesanti



Tracce ad alto parametro d'impatto

Identificazione di  $b$  quark



definizione del parametro d'impatto  $d_0$

## Selezioni SVT @ L2

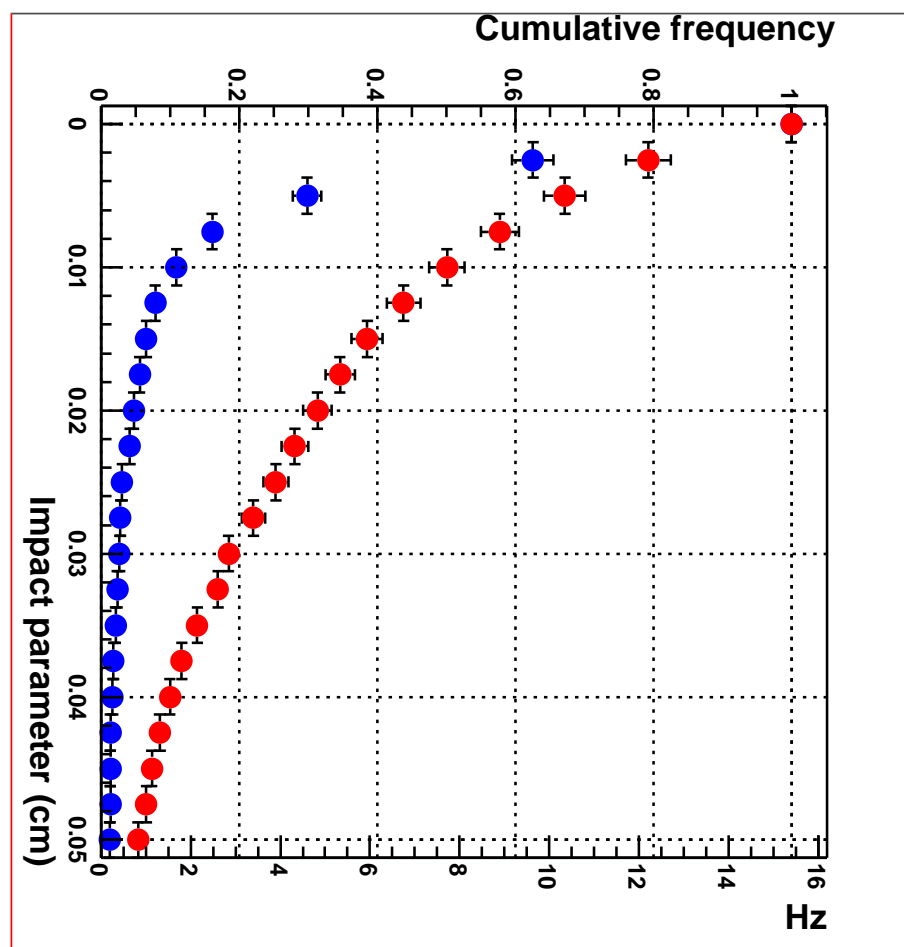
$$\sigma_{d_0}^{attesa} = \sqrt{\sigma_F^2 + \sigma_{res}^2} \sim 43 \mu m$$

$$\sigma_F \sim 35 \mu m$$

$$\sigma_{res} \sim 25 \mu m$$

- Le tracce vengono selezionate secondo dei criteri di qualità
- La richiesta di due tracce SVT

$$d_0 > 100 \mu m$$



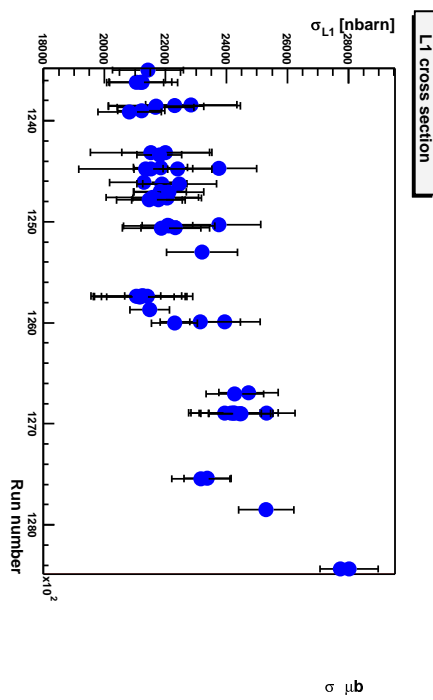
$$R = 1.7 \pm 0.2 Hz;$$

$$\epsilon_{W/Z/H} = (50 \pm 2)\%$$

## Studi sui primi dati Run II

- Marzo 2001  
→ inizio presa dati Run II

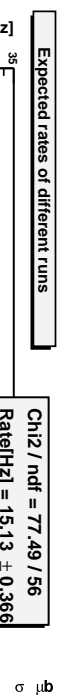
- $\mathcal{L} < 10^{32} \text{ cm}^{-2} \text{ s}^{-1}$  e  $\sim 4 \text{ pb}^{-1}$  di dati raccolti (fino ottobre 2001)



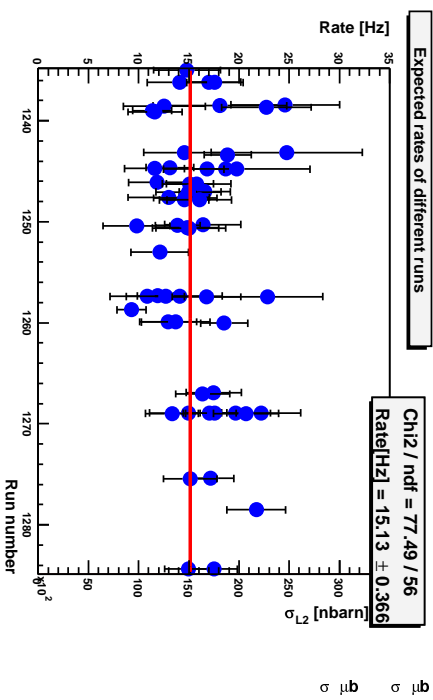
Livello 1

### test di verifica delle selezioni studiate

@  $10^{32} \text{ cm}^{-2} \text{ s}^{-1}$



Livello 2

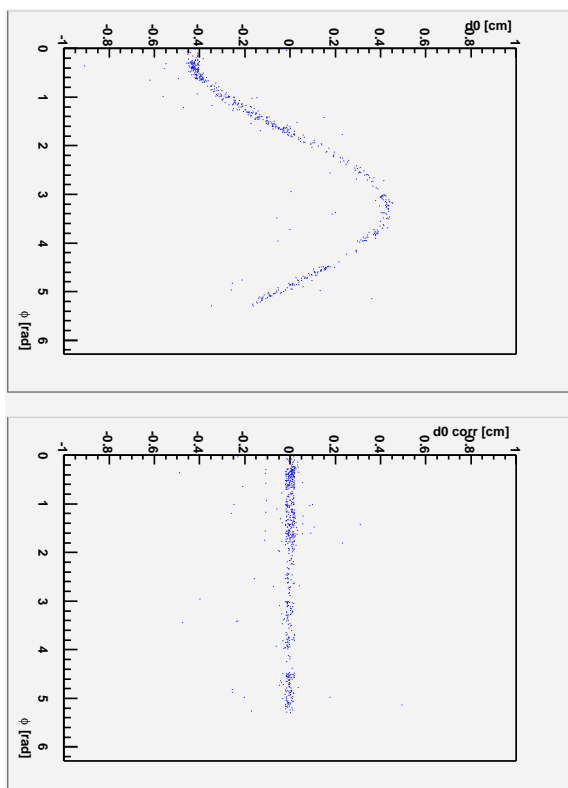


- ▼  $2.46 \pm 0.43 \text{ kHz}$
- ▼  $17.2 \pm 0.8 \text{ Hz}$
- da confrontare con
- $2.7 \text{ kHz}$
- $15.4 \pm 0.8 \text{ Hz}$

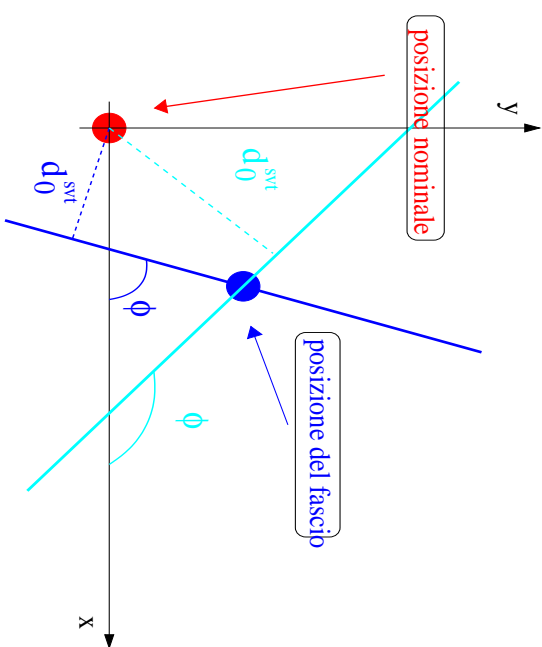
## Studi sui primi dati Run II, SVT

- Il fascio non era nella sua posizione nominale.
- SVT misura i parametri delle tracce rispetto all'asse nominale dei fasci.
- Necessità di una correzione.

$$d_0^{corr} = d_0^{SVT} + x_B \sin(\phi) - y_B \cos(\phi)$$



- Layer di Si operativi  $\sim 75\%$  in SVX-II
- Nessuna correzione sull'allineamento dei piani di Si
- Non ancora ottimizzata  $\epsilon_{SVT}$  di ricostruzione



## Risultati combinati preliminari



2 tracce  
SVT fiduciali con  
 $d_0 > 100 \mu m$

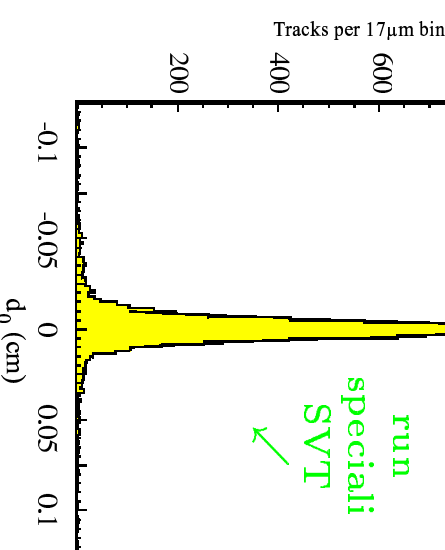
▼ 0.4 ÷ 2 Hz  
@  $10^{32} cm^{-2}s^{-1}$

- al variare del tipo di estrapolazione
- con  $\sigma_d$  non ancora ottimizzata



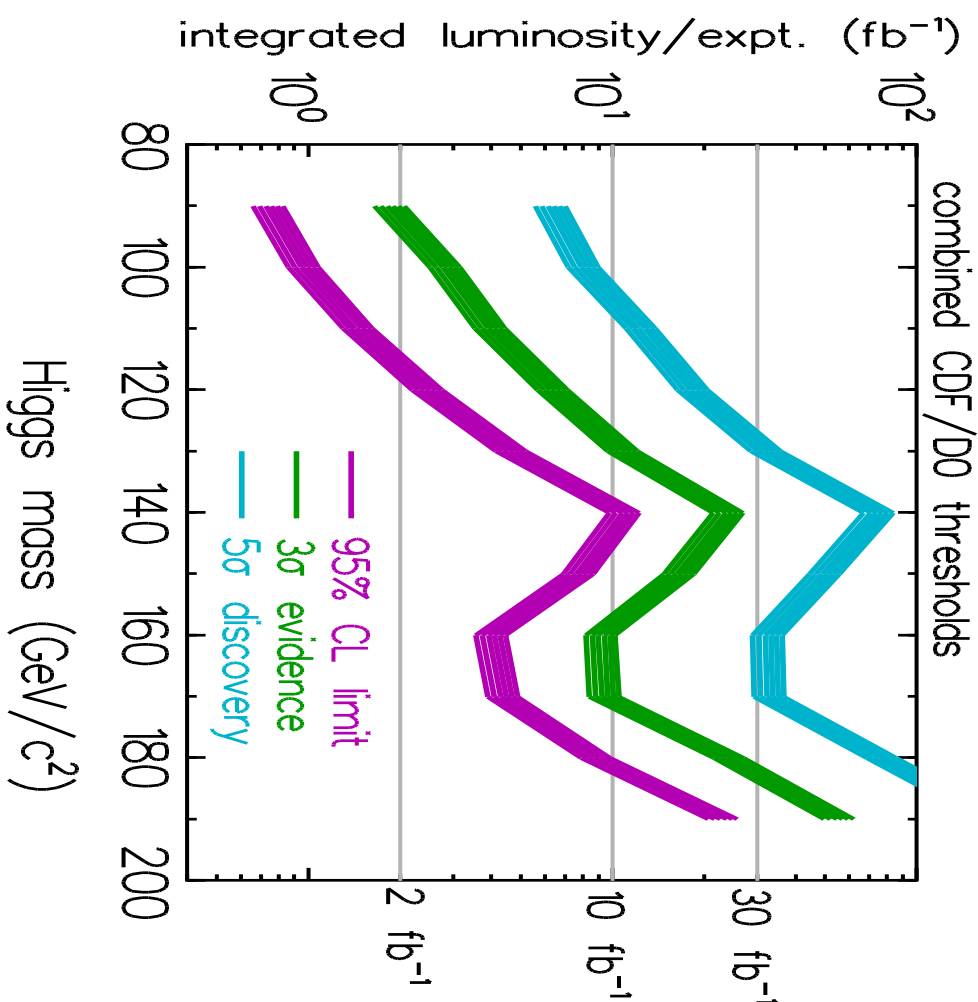
Tuttavia:

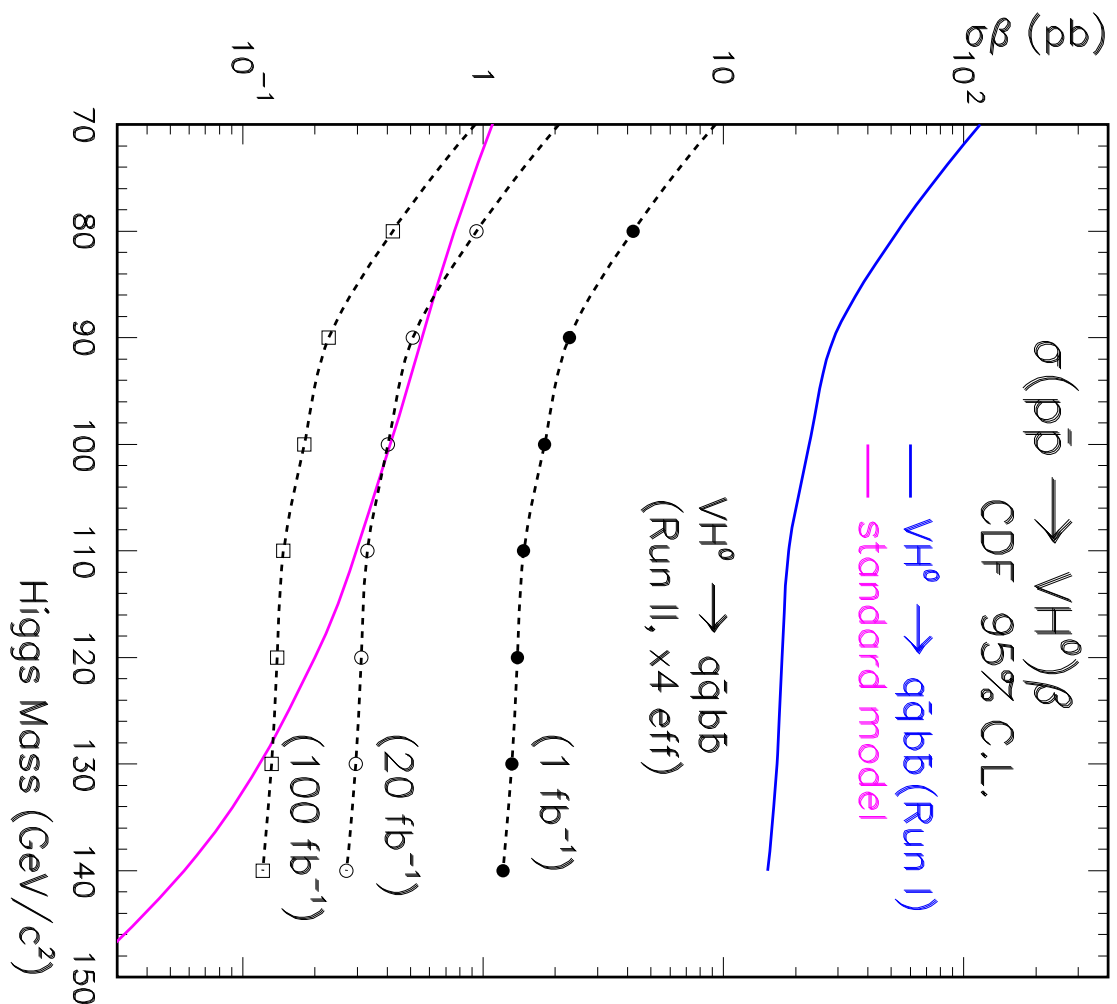
- ▼  $\sigma_d$  migliore ← correzione allineamento layer, ed ottimizzazione della correzione per la posizione del fascio → run speciali SVT.

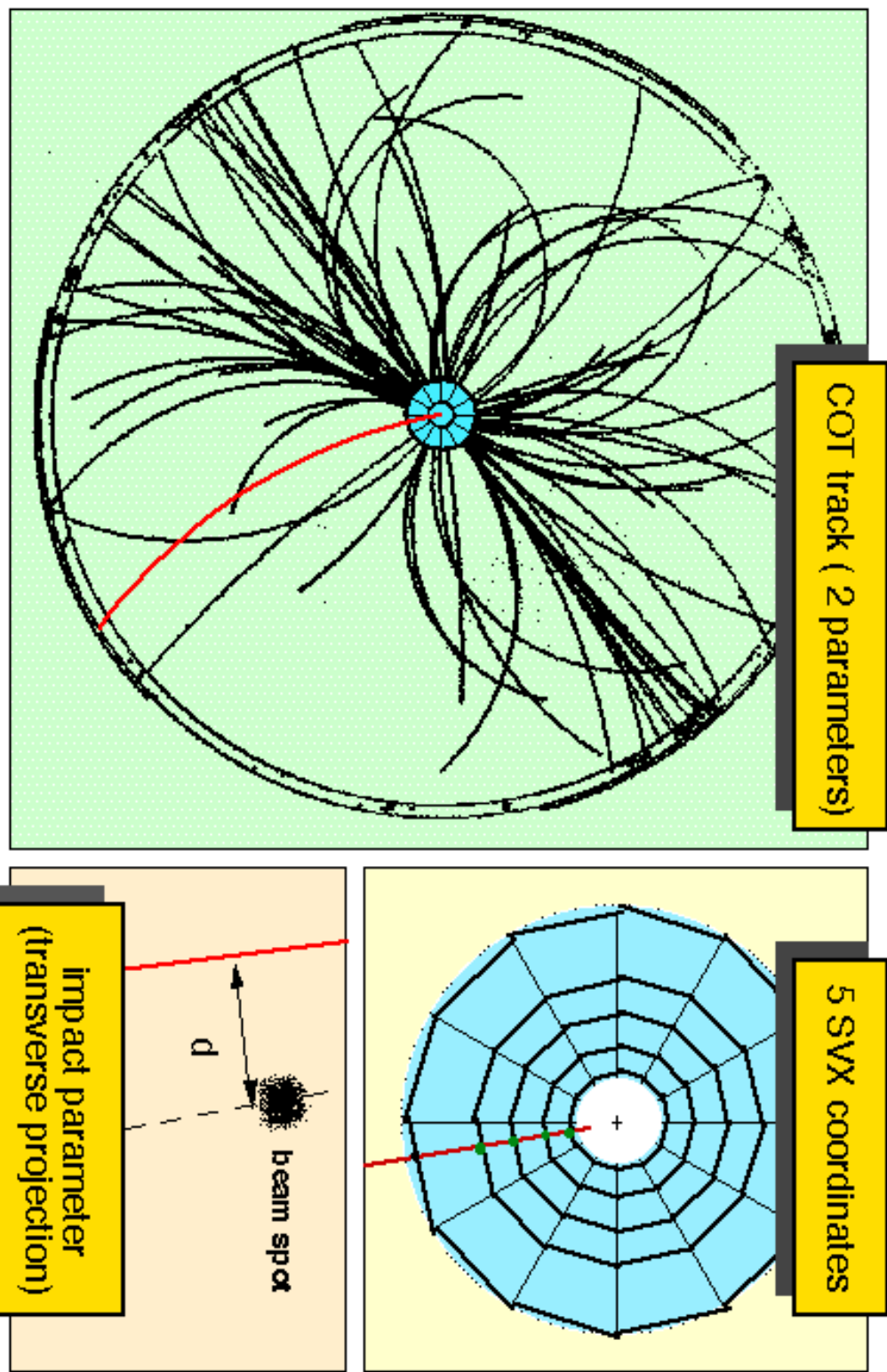


## Conclusioni

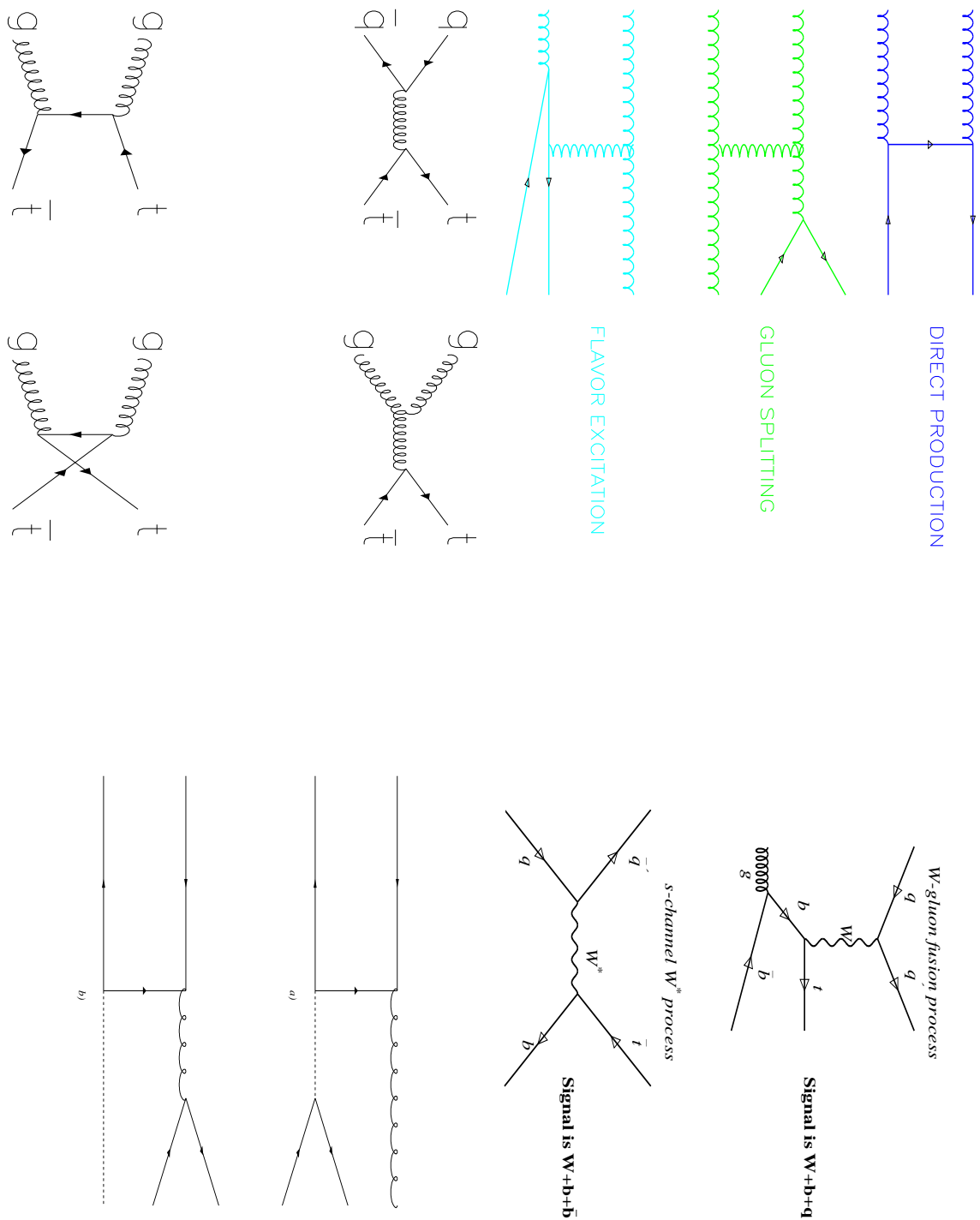
- ▶ Il trigger *Higgs-Multijet* è attivo da gennaio 2002.  
→ Nuovi dati per ulteriori verifiche
- ▶ Sebbene il canale adronico da solo non permetta di ottenere un'evidenza sperimentale sui processi  $W/Z+H$  nella regione di massa esplorabile al Tevatron,
- ▶ combinando canali ed esperimenti →
- $\sim 4 \text{ fb}^{-1}$  di dati CDF+D0  
→ conferma aspettativa di LEP sull'Higgs a  $115 \text{ GeV}/c^2$
- $\sim 20 \text{ fb}^{-1}$  di dati CDF+D0 esplorazione della regione di massa  $[90 \div 180] \text{ GeV}/c^2$  a  $3\sigma$



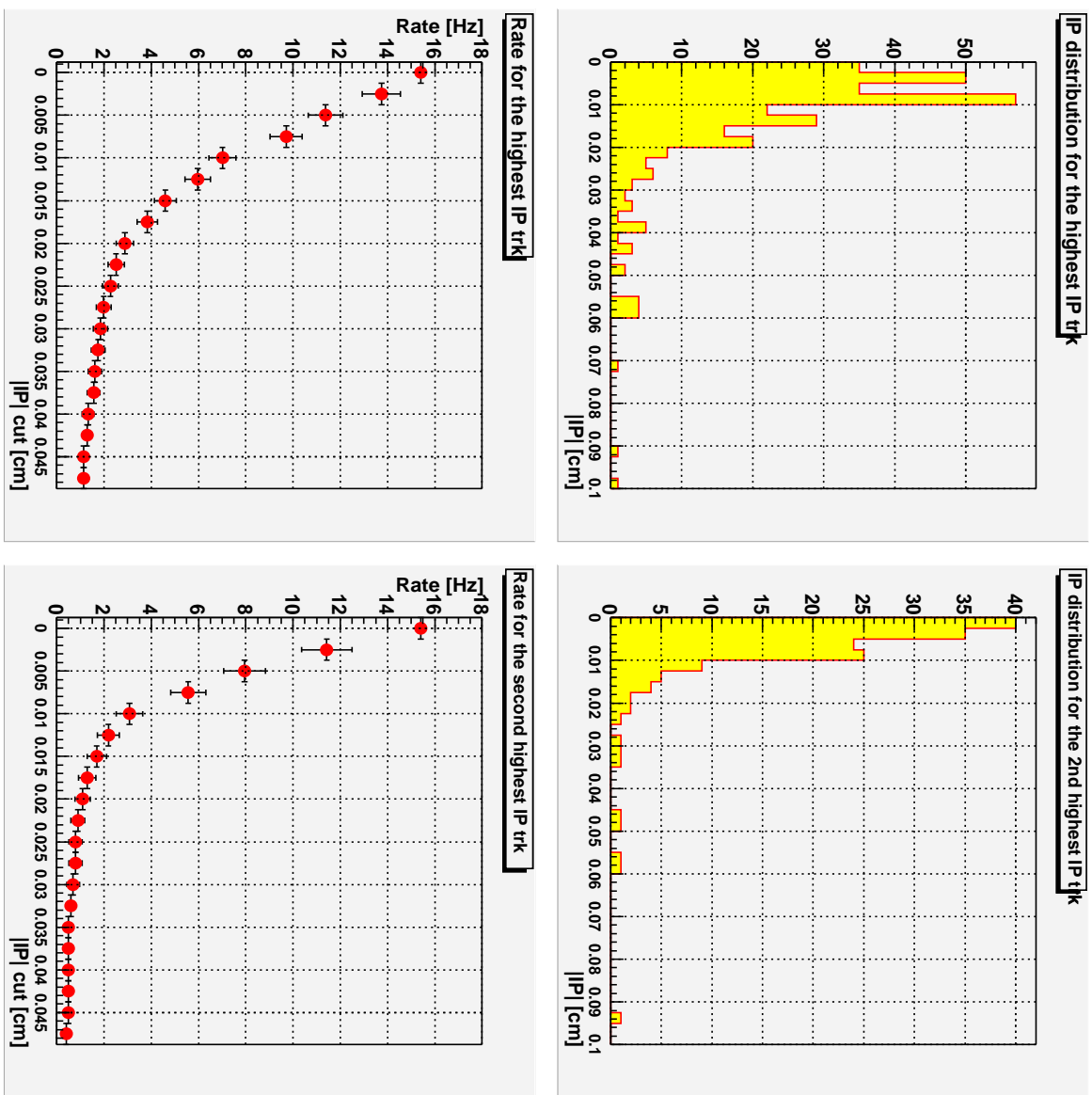




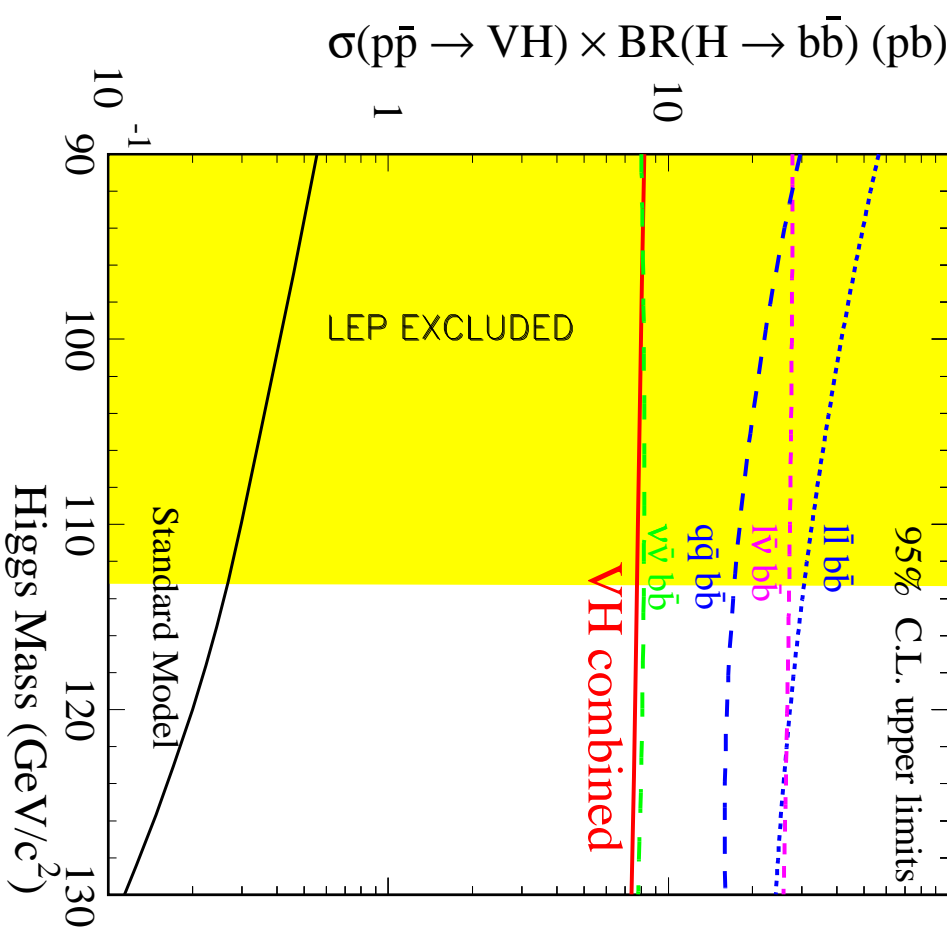
## Un trigger per la ricerca del bosone di Higgs a CDF-II



# Un trigger per la ricerca del bosone di Higgs a CDF-II

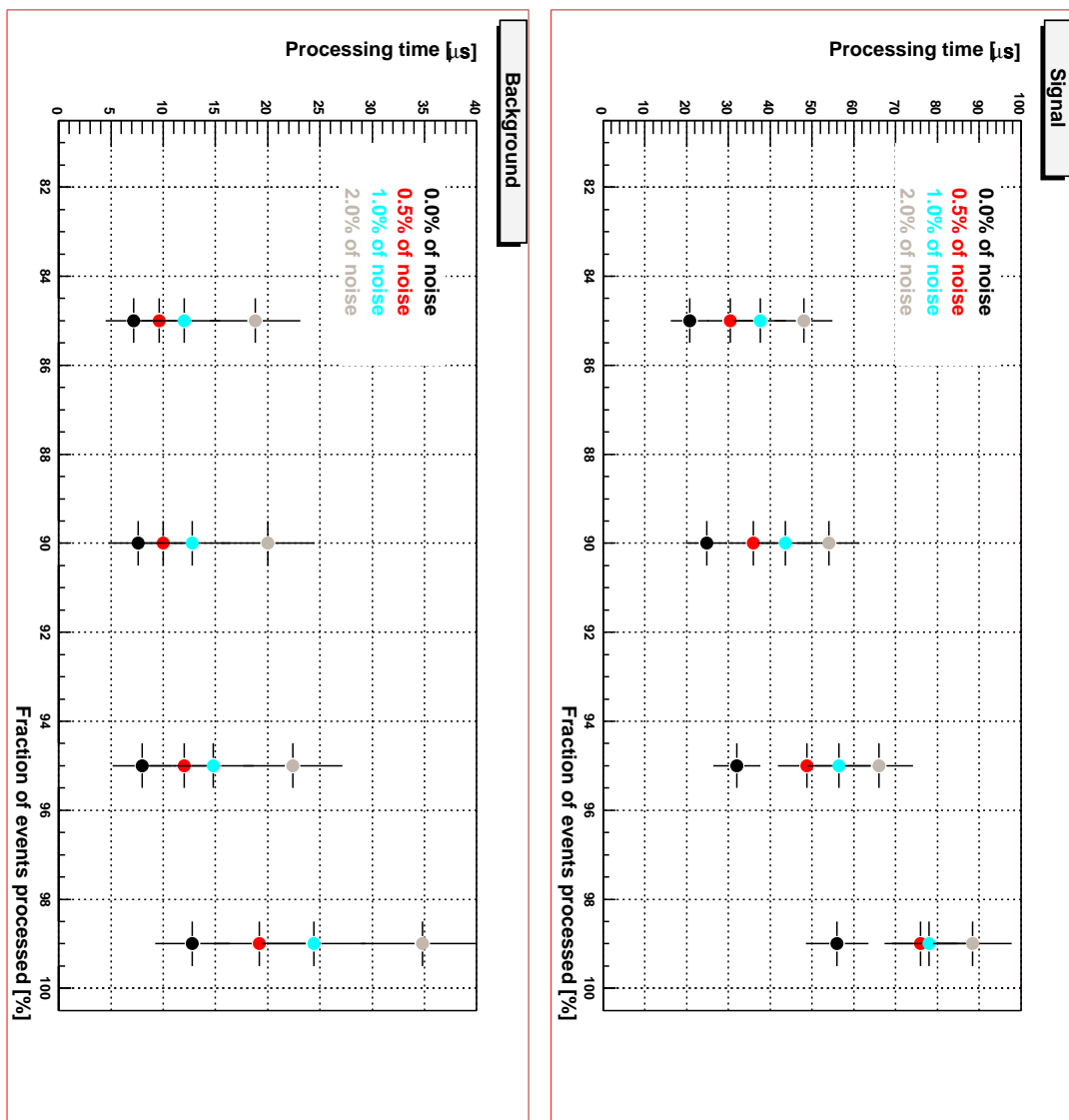


## Ricerche passate a CDF

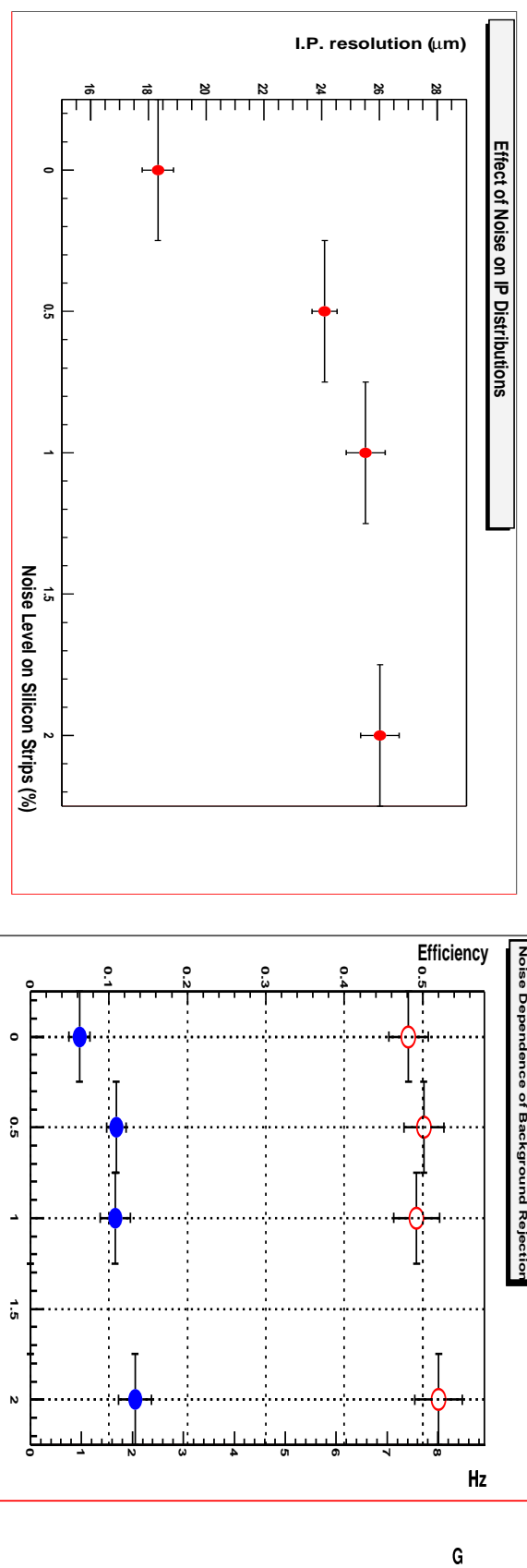


Nel Run I ( $106 \pm 4 \text{ pb}^{-1}$ )  
Limite superiore  
 $\sigma \times BR \sim 8 \text{ pb}$  di produzione

# Un trigger per la ricerca del bosone di Higgs a CDF-II



## Stabilità delle selezioni



No  $\sigma_F$  (dimensioni fisiche del fascio)

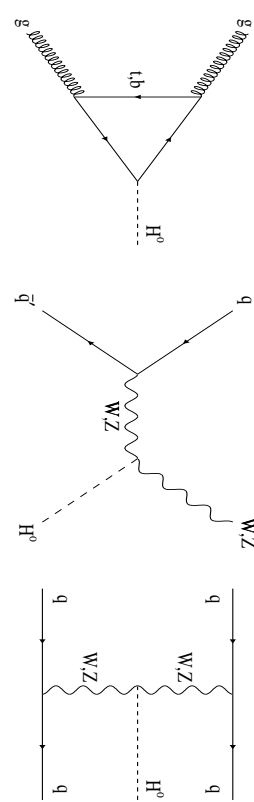
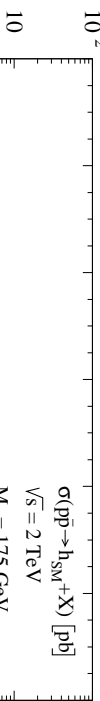
Variazioni con il livello di rumore (% di segnali spuri in SVX-II)

- ▶ efficienza sul segnale  $\sim$  costante
- ▶ aumento significativo della frazione di fondo raccolta e degradazione della  $\sigma_d$  all'aumentare del rumore  $0.0 \div 2.0\%$

## Produzione di Higgs al collisore Tevatron

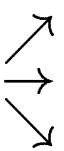
Sezioni d'urto di produzione

@ 2 TeV



Fusione di Higgsstrahlung bosoni

fusioni di gluoni vettori



Processi principali di produzione:

$M_H [GeV/c^2]$	$\sigma_H [\text{fb}]$	$\sigma_{HW} [\text{fb}]$	$\sigma_{HZ} [\text{fb}]$	$\sigma_{Hqq} [\text{fb}]$
110	900	224	128	100
120	704	165	96.5	85.4
130	558	124	73.5	73.2

## Rapporti di decadimento (BR)

### Rapporti di decadimento (BR)

#### Canali di ricerca al Tevatron

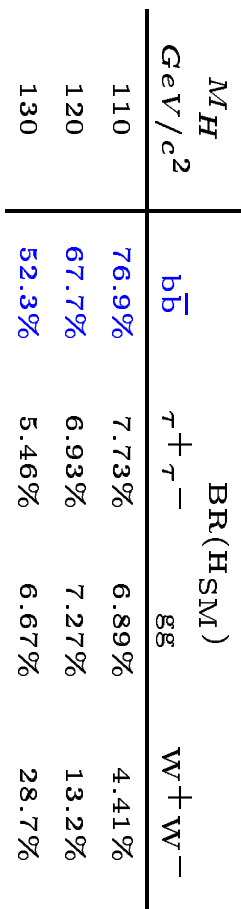


fusione di gluoni      produzione  
associata a  $V$

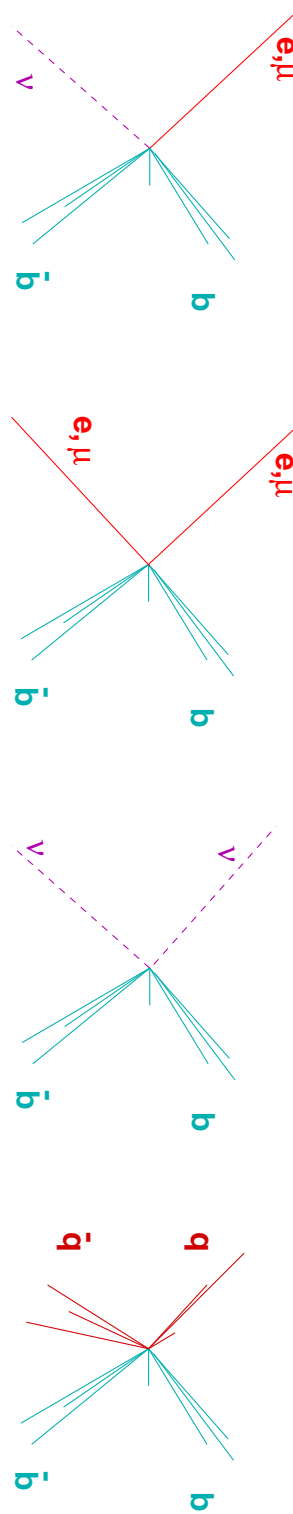
↓  
speciali topologie

difficile reiezione  
del fondo      reiezione del  
fondo

↓  
↓



## Stati finali per eventi $W/Z/H$



Stati finali leptonici

$H W \rightarrow b \bar{b} l \nu$

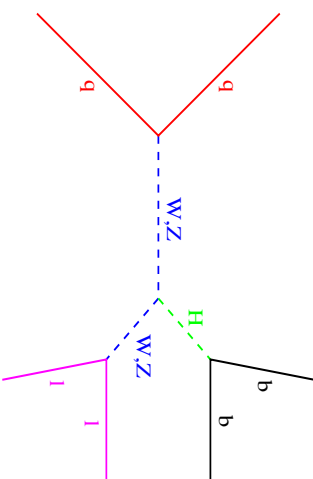
$H Z \rightarrow b \bar{b} l^+ l^-$

$H Z \rightarrow b \bar{b} \nu \bar{\nu}$

$H Z(W) \rightarrow b \bar{b} q \bar{q}(l')$

Stati finali completamente adronici

- $\geq 2$   $b$ -jets
- $M_{jj} \simeq M_V$



- Un segnatura chiara:

leptoni ad alto  $P_T$  ed  $E_T$

- Bassa rapporto di decadimento:  
 $\sim 5 \div 15\%$

dificile reiezione del fondo

$M_H [GeV/c^2]$	$BR[\%]$	$\sigma [fb]$
110	53	186
120	47	122
130	36	72